

ионов Zn^+ не может повлиять на процесс образования вакансий при быстрой кристаллизации из расплава. Поэтому на образцах InP , имплантированных Zn^+ , наблюдается совершенно иное поведение зависимостей $I(d)$ с глубиной, чем на образцах, имплантированных P^+ .

Таким образом, в данной работе показано, что имплантация в InP собственной компоненты У группы позволяет уменьшить дефектность материала после наносекундного лазерного воздействия. По-видимому, этот вывод справедлив также и для других полупроводниковых соединений A_3B_5 .

Авторы благодарят Ю.В. Погорельского за обсуждение результатов работы.

Л и т е р а т у р а

- [1] Арутюнов Е.Н., Васильев А.Н., Карпов С.Ю., Ковальчук Ю.В., Мячин В.Е., Погорельский Ю.В. В сб. Неравновесные процессы в полупроводниках. Л., 1986, с. 180-201.
- [2] Nojima S. - J. Appl. Phys., 1982, v. 53, № 7, p. 5028-5036.
- [3] Алферов Ж.И., Арутюнов Е.Н., Васильев А.Н., Карпов С.Ю., Ковальчук Ю.В., Мячин В.Е., Погорельский Ю.В., Соколов И.А. - Письма в ЖТФ, т. 11, № 15, с. 916-920.
- [4] Арутюнов Е.Н., Васильев А.Н., Карпов С.Ю., Ковальчук Ю.В., Мячин В.Е., Соколов И.А. - Письма в ЖТФ, 1986, т. 12, № 20, с 1217-1222.

Физико-технический
институт им. А.Ф. Иоффе
АН СССР, Ленинград

Поступило в Редакцию
19 октября 1987 г.

Письма в ЖТФ, том 14, вып. 2

26 января 1988 г.

ДОМИНИРУЮЩИЕ РЕКОМБИНАЦИОННЫЕ ЦЕНТРЫ
В СЛОЯХ $n\text{-GaAs}$, ПОЛУЧЕННЫХ ОСАЖДЕНИЕМ
ИЗ ГАЗОВОЙ ФАЗЫ

В.М. Ботнарук, Ю.В. Жиляев,
А.Г. Кечек, Н.И. Кузнецов,
А.А. Лебедев, М.И. Шульга

Как известно, дефекты кристаллической решетки определяют многие важнейшие параметры полупроводниковых приборов. Некоторые

Таблица

Уровень	$E(\text{эВ})$	$\sigma (\text{см}^2)$	$N_t (\text{см}^{-3})$	Идентификация
E_1	0.15	$7 \cdot 10^{-16}$	$3 \cdot 10^{10} - 1 \cdot 10^{11}$	EL_{11} [8]
E_2	0.48	$2 \cdot 10^{-14}$	$1 \cdot 10^{12} - 7 \cdot 10^{13}$	EL_3 [8]
E_3	0.705	$1 \cdot 10^{-12}$	$2 \cdot 10^{12} - 2 \cdot 10^{14}$	
E_4	0.79	$1 \cdot 10^{-13}$	$3 \cdot 10^{13} - 4 \cdot 10^{14}$	EL_2 [8]
E_5	0.3	$1 \cdot 10^{-12}$	$1 \cdot 10^{10} - 6 \cdot 10^{10}$	EL_9 [9]
E_6	0.31	$1 \cdot 10^{-13}$	$1 \cdot 10^{10} - 6 \cdot 10^{10}$	EL_8 [9]
H_1	0.13	$2 \cdot 10^{-14}$	$1 \cdot 10^{10} - 1 \cdot 10^{13}$	
H_2	0.3	$2 \cdot 10^{-13}$	$1 \cdot 10^{12} - 1 \cdot 10^{14}$	HL_{12} [10]
H_3	0.38	$4 \cdot 10^{-15}$	$2 \cdot 10^{12} - 6 \cdot 10^{13}$	
H_4	0.56	$2 \cdot 10^{-16}$	$9 \cdot 10^{12} - 2 \cdot 10^{14}$	HL_3 [10]
H_5	0.14	$3 \cdot 10^{-15}$	$2 \cdot 10^{11} - 7 \cdot 10^{11}$	

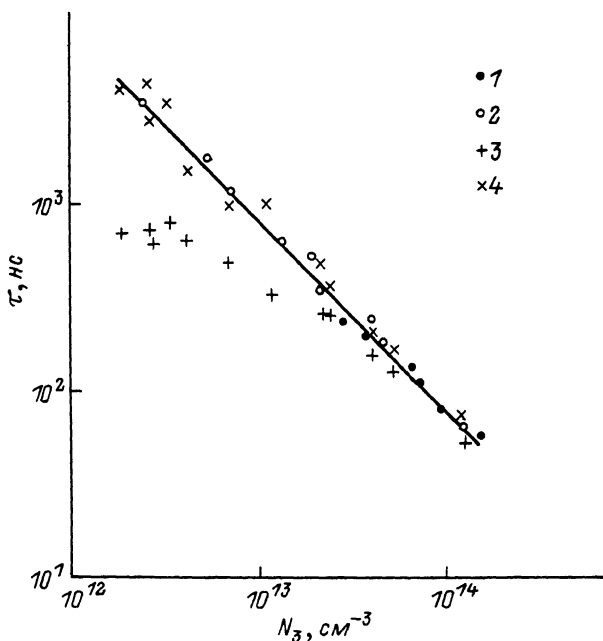
центры с глубокими уровнями (ГУ) имеют большие сечения захвата электронов σ_e и дырок σ_h , т.е. являются эффективными центрами безызлучательной рекомбинации. Целью данной работы было выявление таких центров и определение их параметров.

Исследуемые n_o -слои были получены осаждением из газовой фазы в хлоридной системе [1, 2]. Концентрация фоновой примеси в них колебалась в пределах $3 \cdot 10^{14} - 5 \cdot 10^{15} \text{ см}^{-3}$. Легированный Zn р-слой получался либо путем осаждения в той же системе, либо путем диффузии. В обоих случаях концентрации Zn были порядка 10^{18} см^{-3} . Подвижность электронов в n_o -слое изменялась в пределах $60000 - 130000 \text{ см}^2/\text{В}\cdot\text{с}$ при 77 К.

Измерения концентрации и параметров ГУ производились с помощью нестационарной емкостной спектроскопии (НЕСГУ) на установке, описанной в [3]. При оценке концентрации ГУ учитывалось влияние переходного слоя [4]. Время жизни дырок определяли из измерений времени восстановления обратного тока диода по методу Лэкса.

В результате измерений НЕСГУ обнаружено шесть центров захвата электронов ($E_1 - E_6$) и пять центров захвата дырок ($H_1 - H_5$), параметры которых приведены в таблице (см. [2, 5]).

Измерения показали, что время жизни дырок τ не зависит от уровня инжекции при $j = 0.2 - 5 \text{ А/см}^2$. В диодах, в которых концентрация N_3 ГУ E_3 была велика по сравнению с остальными ГУ и составляла $3 \cdot 10^{13} - 2 \cdot 10^{14} \text{ см}^{-3}$, наблюдалась зависимость $\tau \sim 1/N_3$ (см. рисунок, точки 1).



Зависимость $\tau = 1/N_3$.

В диодах, где $N_3 < N_4$, определение концентрации E_3 осложнялось тем, что постоянные времени перезарядки ГУ E_3 и E_4 близки между собой и пик НЕСГУ, соответствующий уровню E_3 , почти не заметен на фоне большого пика от перезарядки уровня E_4 . Следует отметить, что для центра E_4 наблюдался эффект фотогашения – характерная особенность уровня EL_2 [6]. Если $N_3 \leq N_4$, концентрация ГУ E_3 определялась при малых длительностях импульса заполнения [2] или путем дифференцирования по времени релаксационного сигнала. При таком соотношении концентраций зависимость $\tau(1/N_3)$ значительно отличается от линейной (точки 3), что указывает на наличие еще одного канала рекомбинации. Отклонения были больше при больших N_4 . Для уменьшения N_4 был проведен отжиг диодов. Из литературы известно [7], что EL_2 отжигается при 860°C в течение 15 мин. Мы производили отжиг при температуре 700°C в течение одного, двух и четырех часов. Было установлено, что при разных длительностях отжига N_4 уменьшалась на различную величину (1–3 порядка), а N_3 не менялась, причем имелась корреляция между уменьшением N_4 и увеличением τ . В полностью отожженных диодах наблюдалась зависимость $\tau \sim 1/N_3$ (точки 2) при N_3 от $2 \cdot 10^{12}$ до $2 \cdot 10^{14} \text{ cm}^{-3}$. Точки 1 и 2 ложатся на одну и ту же прямую. Это позволяет утверждать, что уровень E_3 является основным рекомбинационным центром. Вторым рекомбинационным центром является уровень E_4 .

Из зависимости τ^{-1}/N_3 (точки 1 и 2) было определено сечение захвата дырок $\sigma \rho_3 \approx 1.2 \cdot 10^{-14} \text{ см}^2$. Из статистики Шокли - Рида при малом уровне инжекции следует, что

$$\frac{1}{\tau} = \sigma \rho_3 N_3 + \sigma \rho_4 N_4, \quad (1)$$

где σ - тепловая скорость дырок. Из соотношения (1) при вариации N_4 можно определить сечение захвата дырок на уровень E_4 - $\sigma \rho_4 \approx 2 \cdot 10^{-15} \text{ см}^2$.

Используя приведенные выше значения $\sigma \rho_3$ и $\sigma \rho_4$ и измеренные для конкретных образцов значения τ , N_3 и N_4 , была вычислена величина

$$\tau^* = \left(\frac{1}{\tau} - (\sigma \rho_4 N_4) \right)^{-1} = (\sigma \rho_3 N_3)^{-1}. \quad (2)$$

Значения τ^* (точки 4) легли на ту же прямую, что и точки 1 и 2.

Таким образом, можно утверждать, что время жизни контролируется двумя основными каналами безызлучательной рекомбинации через уровни E_3 и E_4 , по крайней мере в диапазоне изменения τ от 40 до 4000 нс, где вклад остальных ГУ в рекомбинацию не значителен.

Следует подчеркнуть, что указанные центры наблюдались во всех исследованных образцах, поэтому можно утверждать, что они присущи *n-GaAs*, полученному в хлоридной системе.

Л и т е р а т у р а

- [1] Жиляев Ю.В., Ботнарук В.М., Диакону И.И., Россина Т.В., Челноков В.Е., Яковенко А.А. - Письма в ЖТФ, 1982, т. 9, в. 23, с. 1442-1444.
- [2] Ботнарук В.М., Жиляев Ю.В., Лебедев А.А. Кузнецов Н.И. - Препринт ФТИ, Л., 1986, № 1024, с. 12.
- [3] Лебедев А.А., Кузнецов Н.И. - Препринт ФТИ, Л., 1986, № 1046, с. 26.
- [4] Астрова Е.В., Лебедев А.А. Ст. деп. М., 1985, № Р - 4010.
- [5] Hublik P., Smid V., Sobolev N.A., Zhiliyaev Yu.V., Kuznetsov N.I. - 2nd Conference on Physics and Technology of GaAs and other III-V Semiconductors. Budapest, Hungary. 8-11 sept. 1986.
- [6] Vincent G., Bois D., Chantre A. - J. Appl. Phys., 1982, v. 53, N 5, p. 3643-3649.

- [7] Martin G.M., Terriac P., Makram-Ebeid S., Guillot G., Gavand M. - Appl. Phys. Lett., 1983, v. 42, N 1, p. 61-63.
- [8] Martin G.M., Mitonneau A., Mircea A. - Electron. Lett., 1977, v. 13, p. 191-194.
- [9] Mircea A., Mitonneau A. - Appl. Phys., 1975, v. 8, p. 15-19.
- [10] Mitonneau A., Martin G.M., Mircea A. - Electron. Lett., 1977, v. 13, p. 666-668.

Физико-технический
институт им. А.Ф. Иоффе
АН СССР, Ленинград

Поступило в Редакцию
15 мая 1987 г.
В окончательной редакции
2 сентября 1987 г.

Письма в ЖТФ, том 14, вып. 2 26 января 1988 г.

ЭПР НА СВОБОДНЫХ НОСИТЕЛЯХ ЗАРЯДА В ОКСИДНЫХ СВЕРХПРОВОДНИКАХ $R\text{-Ba-Cu-O}$

Ю.И. Веснин, В.Е. Истомин,
Э.Г. Косцов

Изучению ЭПР на свободных носителях в металлах, а также поглощению энергии высокочастотного излучения в классических сверхпроводниках посвящено достаточно большое число работ, см., например, [1, 2].

Установлено также, что в оксидных сверхпроводниках типа Y-Ba-Cu-O наблюдается парамагнитный резонанс на ионах Cu^{2+} [3].

Целью настоящей работы являлось исследование части спектра ЭПР в указанном классе сверхпроводников, связанной со свободными носителями заряда. Изучение именно этой части спектра может дать ключ к пониманию механизма сверхпроводимости в открытых в последние месяцы сверхпроводниках.

Объектом исследования служила керамика $\text{YBa}_2\text{Cu}_3\text{O}_y$ и $\text{EuBa}_2\text{Cu}_3\text{O}_y$, полученная спеканием исходных компонент по методике [4]. При этом использовались как образцы, обладающие сверхпроводимостью (устанавливаемой по температурной зависимости величины сопротивления R и проявлению эффекта Мейснера), так и несверхпроводящие образцы того же химического состава и кристаллической структуры, устанавливаемой по идентичности рентгенограмм.

Измерения спектров ЭПР проводились на радиоспектрометре РЭ-1301 с частотой клистрона 9300 МГц и частотой модуляции 975 КГц.